

# Wyznaczanie charakterystyki prądowo-napięciowej diody rezonansowo-tunelowej (RTD) oraz zastosowanie przybliżenia adiabaticznego do wyznaczenia zjawiska kwantyzacji konduktancji w kwantowym kontakcie punktowym (QPC).

Marta Wleklińska

16 lipca 2025

## 1 Cel ćwiczenia

Ćwiczenie polega na zbadaniu transportu elektronowego w diodzie rezonansowo-tunelowej oraz w kwantowym kontakcie punktowym w nanodrucie 2D.

## 2 Wstęp

Jedną z metod obliczeniowych używanych w celu opisanego układu w strukturach o zmiennym potencjale jest metoda macierzy transferu. Polega ona na podziale obszaru o zmiennym potencjale na  $N$  cienkich warstw, w których potencjał jest aproksymowany jako stały. Dla każdej z tych warstw rozwiązywane jest niezależne od czasu równanie Schrödingera

$$-\frac{\hbar^2}{2m_n^*} \frac{d^2}{dz^2} \psi_n(z) + U_n \psi_n(z) = E \psi_n(z), \quad (1)$$

którego rozwiązaniem jest kombinacja liniowa fal płaskich: fal padających i odbitych. Należy jednak zaznaczyć, że funkcja falowa oraz jej pochodna (ważona odwrotnością masy efektywnej) muszą być ciągłe na granicy każdej warstwy, co prowadzi do warunku ciągłości:

$$\psi_n(z_n) = \psi_{n+1}(z_n), \quad \frac{1}{m_n^*} \frac{d}{dz} \psi_n(z_n) = \frac{1}{m_{n+1}^*} \frac{d}{dz} \psi_{n+1}(z_n), \quad (2)$$

gdzie uwzględniamy również możliwość zmiennej masy efektywnej  $m_n^*$  w kolejnych warstwach. Warunki te można zapisać w postaci równania macierzowego z użyciem tzw. macierzy monodromii. Pozwala ona na powiązanie współczynników amplitudy fal w pierwszym i ostatnim obszarze. Na jej podstawie można obliczyć współczynniki transmisji i odbicia:

$$T = \frac{k_N m_1}{k_1 m_N} \frac{1}{|M_{1 \rightarrow N, 11}|^2}, \quad (3)$$

$$R = \frac{|M_{1 \rightarrow N, 21}|^2}{|M_{1 \rightarrow N, 11}|^2}, \quad (4)$$

gdzie  $M_{1 \rightarrow N}$  to całkowita macierz transferu opisująca cały układ od pierwszej do ostatniej warstwy.

## 3 Wyniki

### 3.1 Dioda rezonansowo-tunelowa

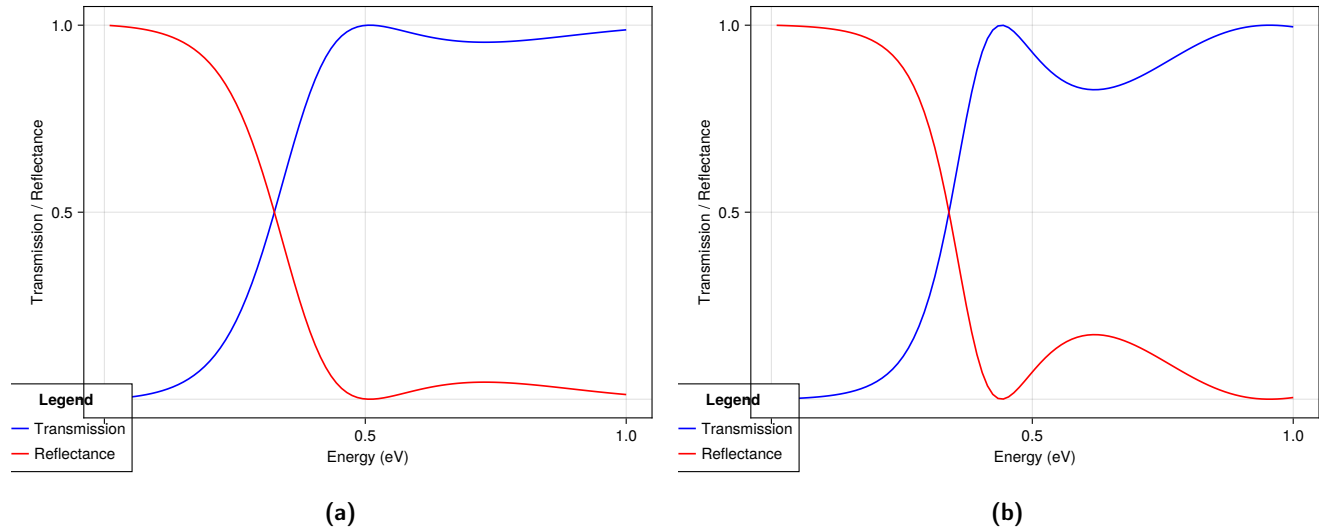
#### 3.1.1 Pojedyncza bariera

Pierwszym krokiem była symulacja transportu elektronowego przez pojedynczą barierę potencjału, w celu przetestowania poprawności implementacji metody macierzy transferu. Bariera była utożsamiana z cienką warstwą materiału o innej

strukturze – przykładowo GaAs domieszkowanego Al, czyli  $\text{Al}_x\text{Ga}_{1-x}\text{As}$ . Dla rozpatrywanego przypadku  $x = 0,3$ , masa efektywna wynosiła:

$$m_{\text{Al}_{0,3}\text{Ga}_{0,7}\text{As}}^* = 0.063 + 0.083 \cdot 0.3, \quad m_{\text{GaAs}}^* = 0.063.$$

Na rysunku 1 przedstawiono zależności transmitancji i reflektancji obliczonych z równań (3), (4). Na rysunku 1a przyjęto stałą masę równą masie efektywnej GaAs, natomiast na rysunku 1b użyto różnej masy efektywnej w obszarze bariery.



**Rysunek 1:** Współczynnik transmisji i odbicia dla układu pojedynczej bariery przy (a) stałej masie w układzie, (b) zmiennej masy w układzie

Można zauważyć, że przy zmiennej masie bariera staje się bardziej zauważalna — po osiągnięciu maksimum transmitancji, dla wyższych energii współczynnik transmisji maleje szybciej niż w przypadku stałej masy.

### 3.1.2 Podwójna bariera

Dioda rezonansowo-tunelowa (RTD) to struktura składająca się z dwóch barier oddzielonych cienką warstwą materiału o niższym potencjale. W naszym przypadku były to dwie warstwy  $\text{Al}_{0,3}\text{Ga}_{0,7}\text{As}$  oraz studnia GaAs.

Dla tej struktury również zastosowano metodę macierzy transferu, obliczając zależności współczynników transmisji i odbicia w funkcji energii — wyniki przedstawiono na rysunku 2.

Charakterystyczną cechą jest występowanie ostrych maksimów transmitancji (rezonansów) dla energii mniejszych niż wysokość bariery. Dla wyższych energii obserwujemy oscylacje transmitancji i reflektancji, wynikające z interferencji fal odbitych i transmitowanych.

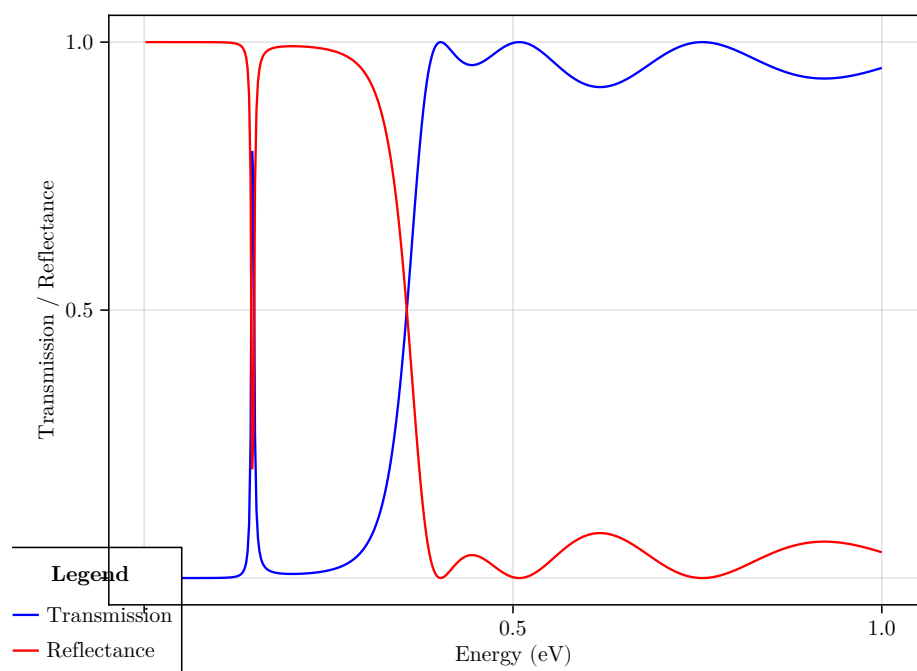
### 3.1.3 Charakterystyka prądowo-napięciowa

Charakterystykę prądowo-napięciową diody RTD można obliczyć korzystając z formuły Tsu-Esakiego:

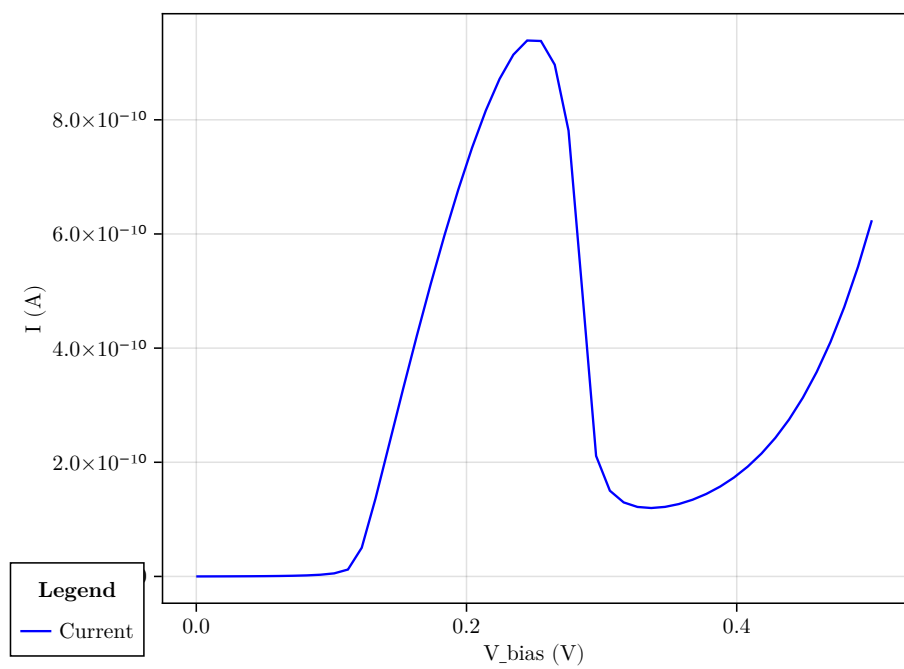
$$j = \frac{em^*k_B T}{3\pi^2\hbar^2} \int_0^\infty dE_z \text{Trans}(E_z) \ln \left[ \frac{1 + \exp\left(\frac{\mu_s - E_z}{k_B T}\right)}{1 + \exp\left(\frac{\mu_s - eV_{\text{bias}} - E_z}{k_B T}\right)} \right], \quad (5)$$

gdzie  $\mu_s = 0.087$  eV to potencjał chemiczny źródła,  $V_{\text{bias}}$  to przyłożone napięcie,  $T = 10$  K to temperatura układu, a  $\text{Trans}(E_z)$  to funkcja transmitancji wyznaczona wcześniej metodą macierzy transferu.

Wprowadzenie napięcia  $V_{\text{bias}}$  powoduje zmianę profilu potencjału — przyjmuje się, że spada on liniowo w obszarze struktury (przybliżenie rampy potencjału). Na rysunku 3 przedstawiono uzyskaną charakterystykę prądowo-napięciową.



**Rysunek 2:** Współczynnik transmisji i odbicia w funkcji energii przy założeniu zmiennej masy diody rezonansowo-tunelowej



**Rysunek 3:** Charakterystyka prądowo-napięciowa diody rezonansowo-tunelowej

Krzywa posiada charakterystyczny kształt z obszarem ujemnego oporu różniczkowego. Po przekroczeniu pewnego napięcia, rezonans wypada poza zakres stanów dostępnych w emiterze, co prowadzi do zmniejszenia prądu — pomimo wzrostu napięcia.

### 3.2 Transport w kwantowym kontakcie punktowym (QPC)

W drugiej części ćwiczenia analizowany był transport elektronowy w kwantowym kontakcie punktowym (QPC), który modelowano jako przewężenie w dwuwymiarowym nanodrucie.

Zadanie polegało na wyznaczeniu efektywnego potencjału  $V_{\text{eff}}(x)$ , z jakim oddziałuje elektron poruszający się w kierunku transportu ( $x$ ), dla różnych stanów poprzecznych  $n$ . Potencjał generowany w układzie przy przyłożeniu napięcia  $V_g$  jest opisywany w postaci

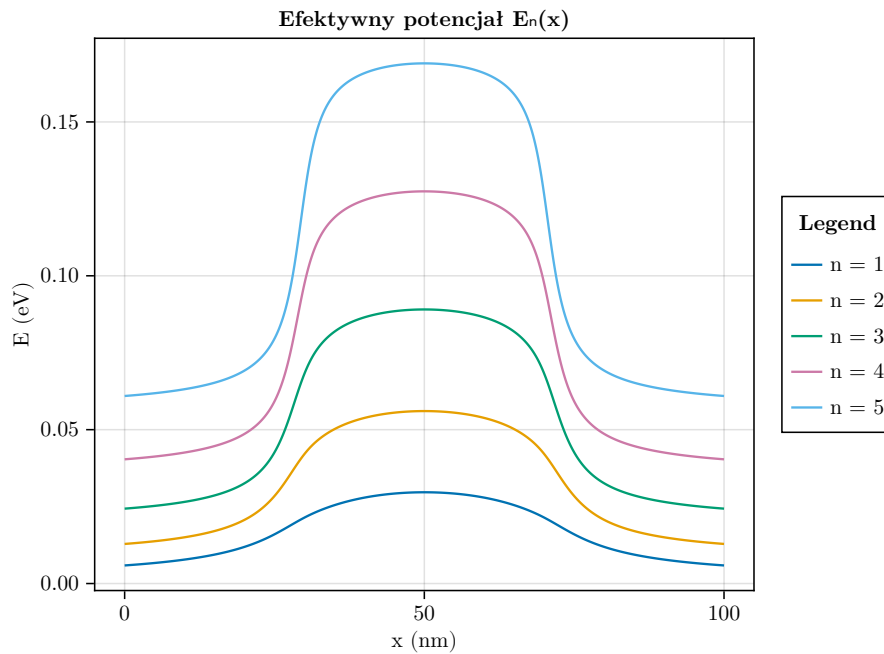
$$V(x, y) = f[x - l, y - b] + f[x - l, t - y] + f[r - x, y - b] + f[r - x, t - y], \quad (6)$$

przy czym

$$f(u, v) = \frac{eV_g}{2\pi\epsilon} \arctg \left( \frac{uv}{d\sqrt{d^2 + u^2 + v^2}} \right), \quad (7)$$

gdzie  $\epsilon$  to przenikalność elektryczna materiału,  $l, r$  - położenia lewego i prawego brzegu bramki, a  $t, b$  - położenia graniczne bramki w kierunku pionowym oraz  $d$  to odległość pomiędzy bramkami a 2DEG. Potencjał opisywany powyższą funkcją jest opisany w dwóch wymiarach, zatem skorzystaliśmy z przybliżenia adiabaticznego w obliczeniach.

Na rysunku 4 przedstawiono przykładowe profile efektywnego potencjału dla stanów  $n = 1$  do  $n = 5$ .

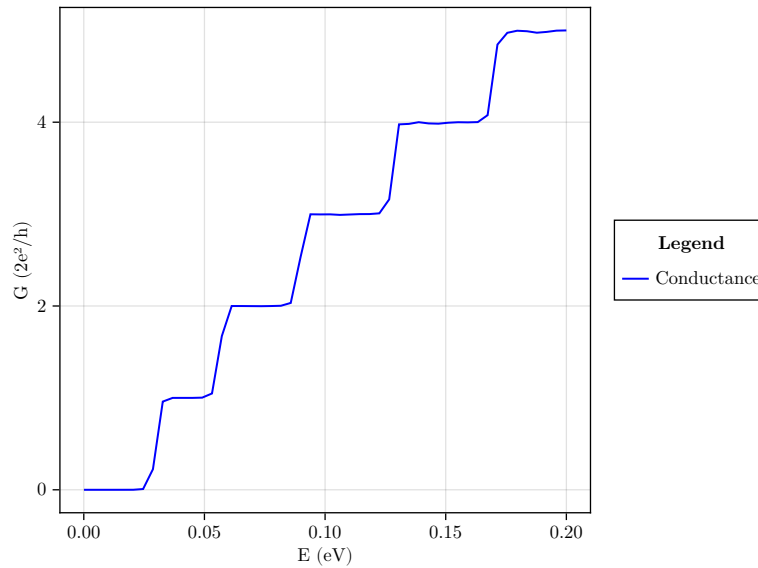


**Rysunek 4:** Profile kolejnych  $n = 5$  energii dla efektywnego potencjału

Na podstawie każdego z tych potencjałów można obliczyć współczynnik transmisji  $T(E_n)$  metodą macierzy transferu. Następnie mogliśmy wyznaczyć konduktancję całkowitą zgodnie z formułą Landauera:

$$G = \frac{2e^2}{h} \sum_n T_n(E). \quad (8)$$

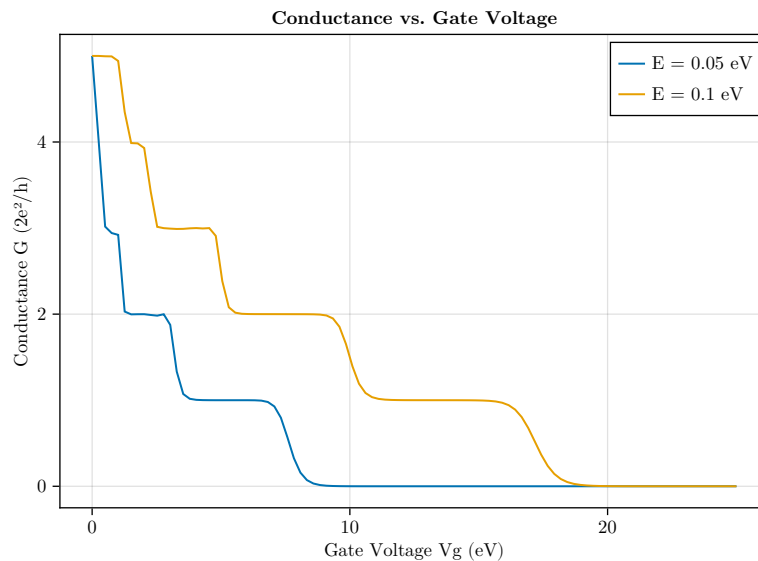
Na rysunku 5 pokazano otrzymane wartości konduktancji  $G$  w funkcji energii padającego elektronu.



**Rysunek 5:** Konduktancja w funkcji energii padającego elektronu wyznaczona dla QPC przy pomocy przybliżenia adiabatycznego

Zauważalne są charakterystyczne *schodki*, czyli dyskretne wartości konduktancji w funkcji energii. Zwiększając energię, dyskretne konduktancje są zwiększane. Obserwowane zjawisko schodkowej konduktancji jest konsekwencją kwantowania liczby modów transmisyjnych – tylko skończona liczba stanów poprzecznych przyczynia się do przenoszenia ładunku, a każdy z nich wnosi dokładnie  $\frac{2e^2}{h}$  do całkowitej konduktancji. Przyjęto  $n = 5$  stanów w sumie.

Dodatkowo zbadano zależność konduktancji od napięcia bramki  $V_g$ , dla danych energii Fermiego:  $E = \{50, 100\}$  meV. Na rysunku 6 przedstawiono zależność konduktancji od  $V_g$ . Zauważamy odwrotną zależność: im większe napięcie bram-



**Rysunek 6:** Konduktancja w funkcji napięcia  $V_g$  na bramkach. Wyniki dla  $E = 50$  meV oraz  $E = 100$  meV

ki  $V_g$ , tym większy jest efektywny potencjał barierowy, co skutkuje wygaszaniem transmisji przez poszczególne kanały. Dla niższej energii Fermiego zauważamy szybsze gaśnięcie konduktancji.

## 4 Podsumowanie

Ćwiczenie polegało na zbadaniu dwóch nanourządzeń: diody rezonansowo–tunelowej oraz kwantowego kontaktu punktowego. Do każdego z nich użyto metody macierzy transferu w celu znalezienia współczynnika transmisji przez bariery potencjału. W pierwszej części dodatkowo wyznaczono charakterystykę prądowo–napięciową używając formuły Tsu–Esakiego. W drugiej części z kolei badano konduktancję i jej *schodkową* zależność od energii oraz przyłożonego napięcia.